

Traitement et Analyse d'Images

Modèles génératifs
Modèles de diffusion

Quel est l'intérêt des modèles de diffusion ?

- ▶ Meilleures méthodes actuelles pour la génération d'images synthétiques
- ▶ Permettent de générer des images sous formes conditionnées
- ▶ Beaucoup de solutions logicielles, comme Midjourney, dall-E

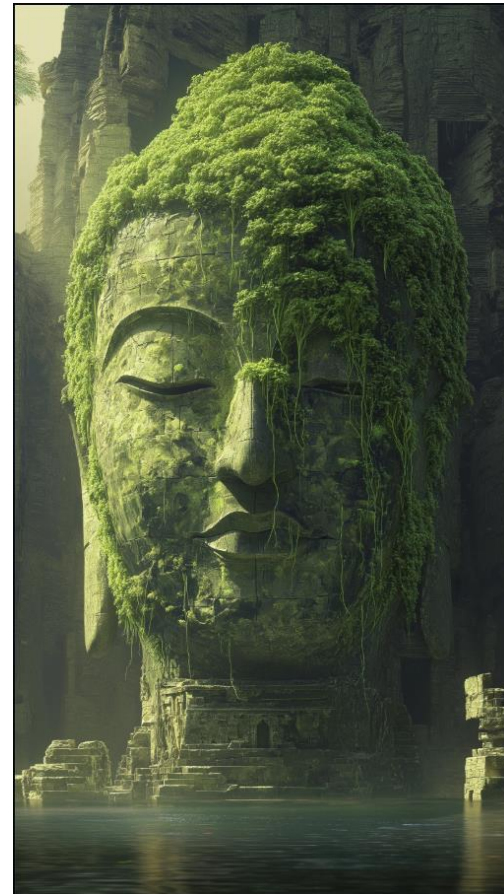
An Asian girl in ancient coarse linen clothes rides a giant panda and carries a wooden cage. A chubby little girl with two buns walks on the snow. High-precision clothing texture, real tactile skin, foggy white tone, low saturation, retro film texture, tranquil atmosphere, minimalism, long-range view, telephoto lens



Quel est l'intérêt des modèles de diffusion ?

- ▶ Meilleures méthodes actuelles pour la génération d'images synthétiques
- ▶ Permettent de générer des images sous formes conditionnées
- ▶ Beaucoup de solutions logicielles, comme Midjourney, dall-E

A digital artwork depicting the Buddha's head, intricately designed with green trees growing from it and vines surrounding its face. The background is an enchanted forest filled with ancient ruins, creating a mystical atmosphere. In front of the Buddha's head lies a tranquil river that reflects his serene expression. This scene embodies peace amidst chaos in nature



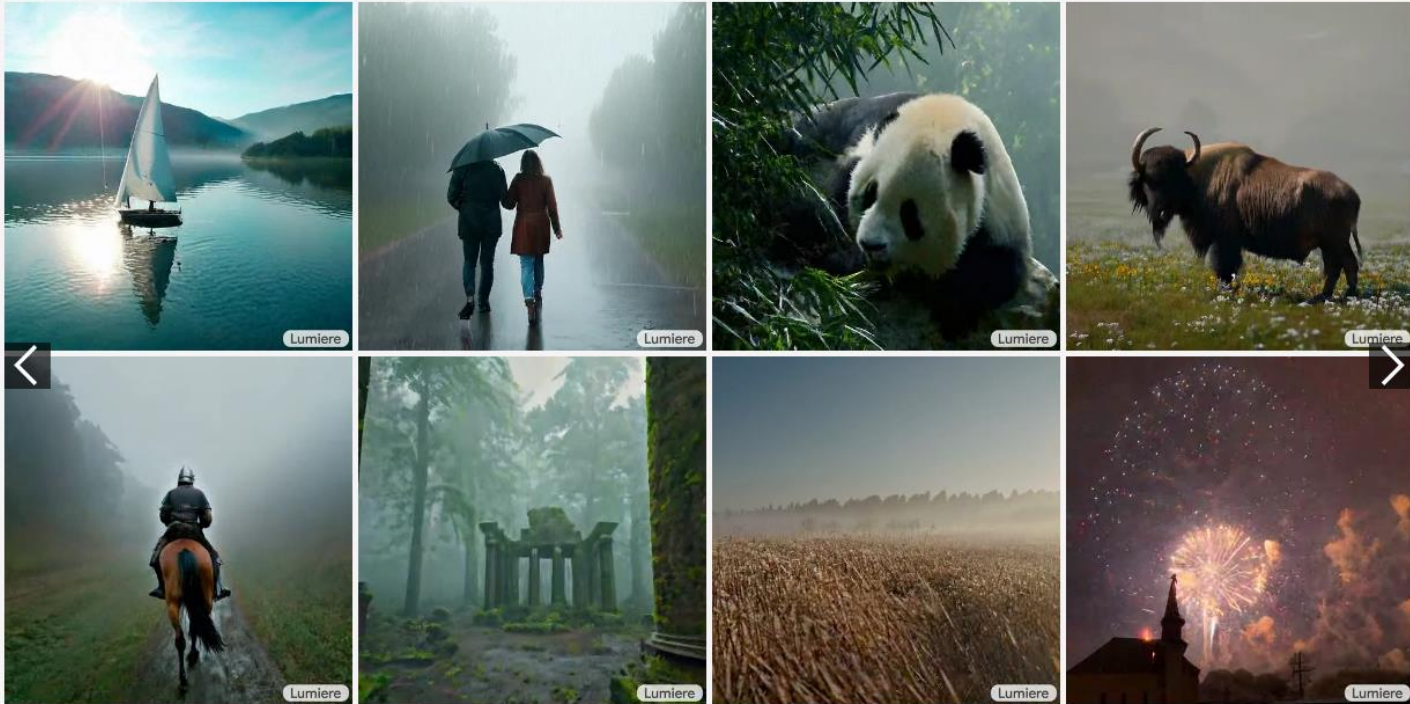
Quel est l'intérêt des modèles de diffusion ?

► Extensions récentes pour la synthèse de vidéo

https://lumiere-video.github.io/#section_image_to_video

Text-to-Video

* Hover over the video to see the input prompt.



Quel est l'intérêt des modèles de diffusion ?

► Extensions récentes pour la synthèse de vidéo

https://lumiere-video.github.io/#section_image_to_video

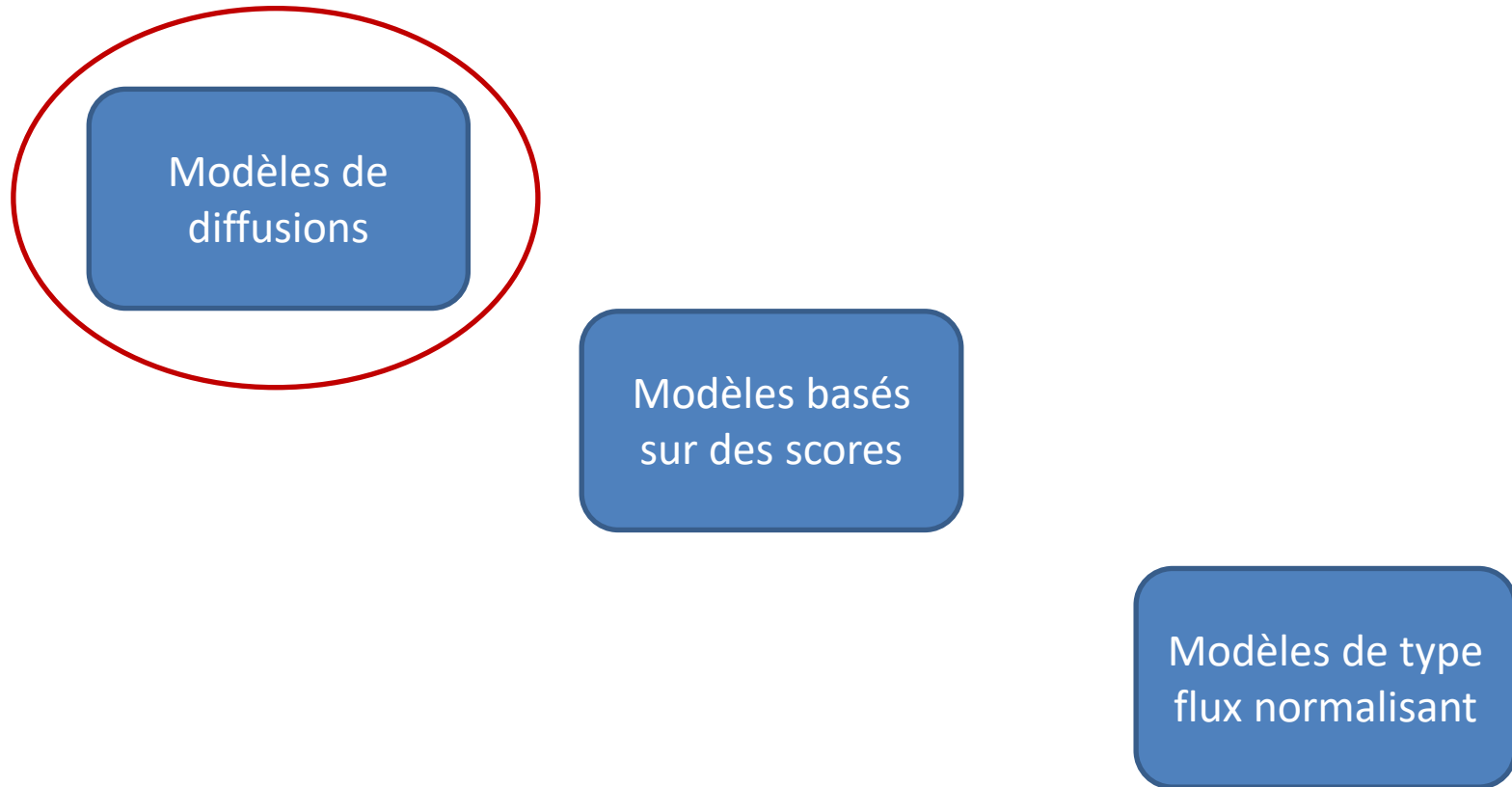
Image-to-Video

* Hover over the video to see the input image and prompt.



Quel est l'intérêt des modèles de diffusion ?

► Famille des réseaux de diffusions



Modèles de diffusion probabiliste avec débruitage

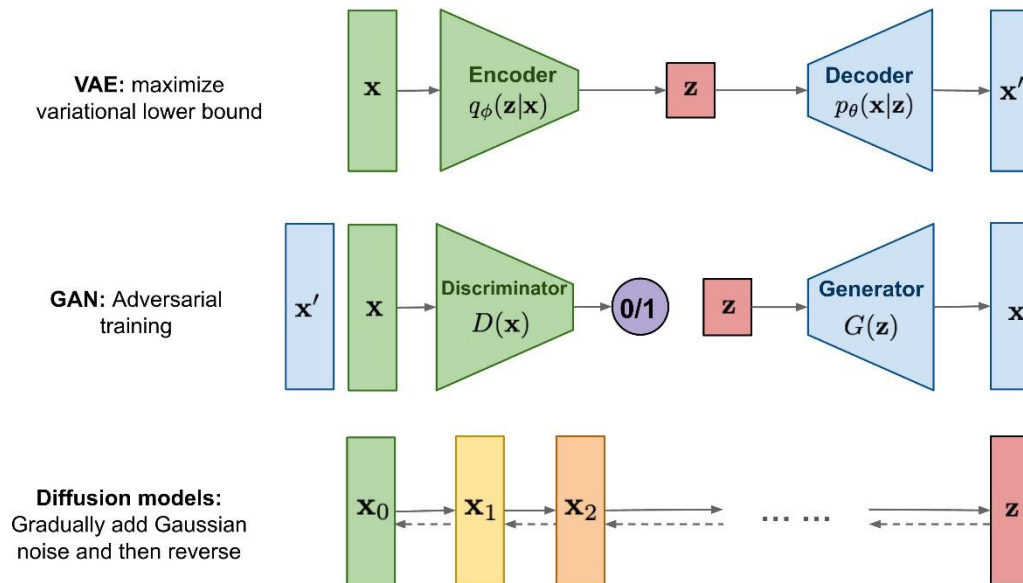
DDPM

L'ensemble des mathématiques sont décrites dans le blog suivant

<https://creatis-myriad.github.io/tutorials/2023-11-30-tutorial-ddpm.html>

► Principales caractéristiques

→ Appartient à la famille des modèles génératifs (comme les VAE)

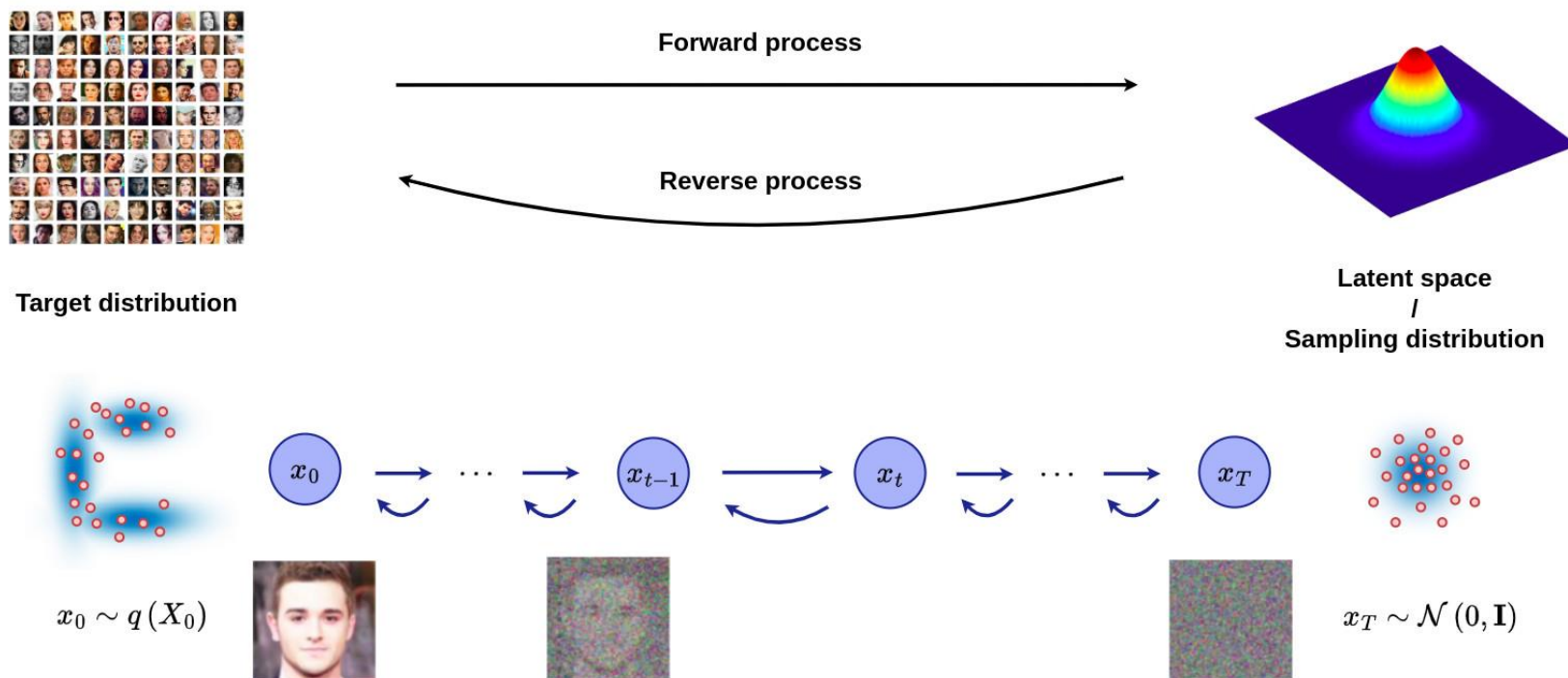


→ Basé sur la notion de chaîne de Markov

Modèle mathématique utilisé pour décrire un système qui évolue de manière aléatoire entre différents états, selon certaines règles de probabilité

► Principales caractéristiques

- Définis une chaîne de Markov d'étapes de diffusion pour ajouter lentement un bruit aléatoire aux données
- Le modèle apprend ensuite à inverser le processus de diffusion pour construire des échantillons de données à partir du bruit.



► Théorème de Bayes

$$q(x_t | x_{t-1}) = \frac{q(x_{t-1} | x_t) q(x_t)}{q(x_{t-1})}$$

$$q(x_{t-1} | x_t) = \frac{q(x_t | x_{t-1}) q(x_{t-1})}{q(x_t)}$$

► Théorème marginal

$$q(x_0, x_1, \dots, x_T) = q(x_{0:T})$$

$$q(x_0) = \int q(x_0, x_1, \dots, x_T) dx_1 \cdots dx_T$$

$$q(x_0) = \int q(x_{0:T}) dx_{1:T}$$

► Théorème des probabilités conditionnelles

$$q(x_{t-1}, x_t) = q(x_t | x_{t-1})q(x_{t-1})$$

$$q(x_{1:T} | x_0) = q(x_T | x_{0:T-1})q(x_{T-1} | x_{0:T-2}) \cdots q(x_1 | x_0)$$

La probabilité de chaque événement ne dépend que de l'état atteint lors de l'événement précédent

► Théorème des probabilités conditionnelles

$$q(x_T | x_{0:T-1}) = q(x_T | x_{T-1})$$

$$q(x_{1:T} | x_0) = \prod_{t=1}^T q(x_t | x_{t-1})$$

► Théorème de Bayes

$$q(x_t | x_{t-1}) = q(x_t | x_{t-1}, x_0) = \frac{q(x_{t-1} | x_t, x_0) q(x_t | x_0)}{q(x_{t-1} | x_0)}$$

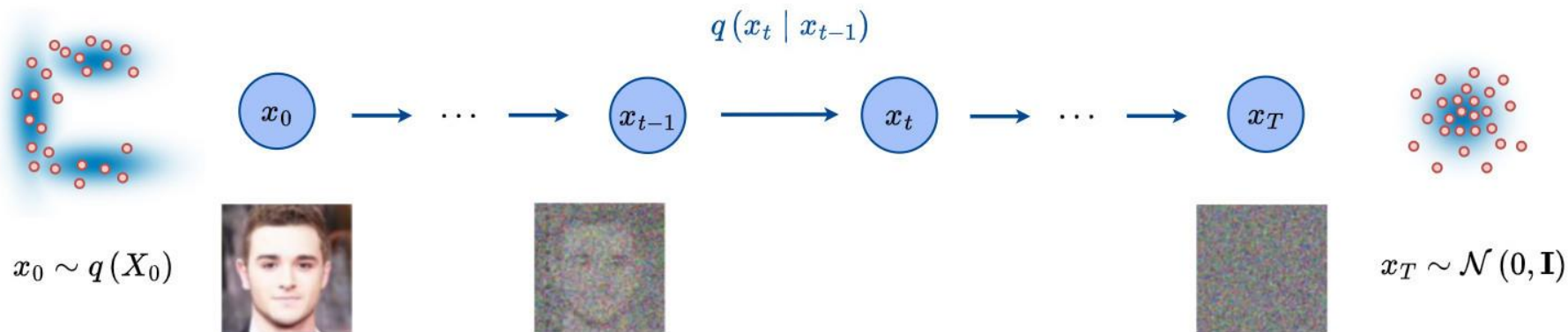
► Distribution conjointe

$$p_\theta(x_{0:T}) = p_\theta(x_T) \prod_{t=1}^T p_\theta(x_{t-1} | x_t)$$

DDPM

Processus de diffusion vers l'avant

Procédure dans laquelle une petite quantité de bruit gaussien est ajoutée à l'échantillon ponctuel x_0 , produisant une séquence d'échantillons bruités x_1, \dots, x_T



- ▶ x_0 est un échantillon issu d'une distribution de données réelles $x_0 \sim q(X_0)$
- ▶ $q(x_t | x_{t-1})$ modélise la probabilité d'avoir l'état x_t sachant l'état x_{t-1}

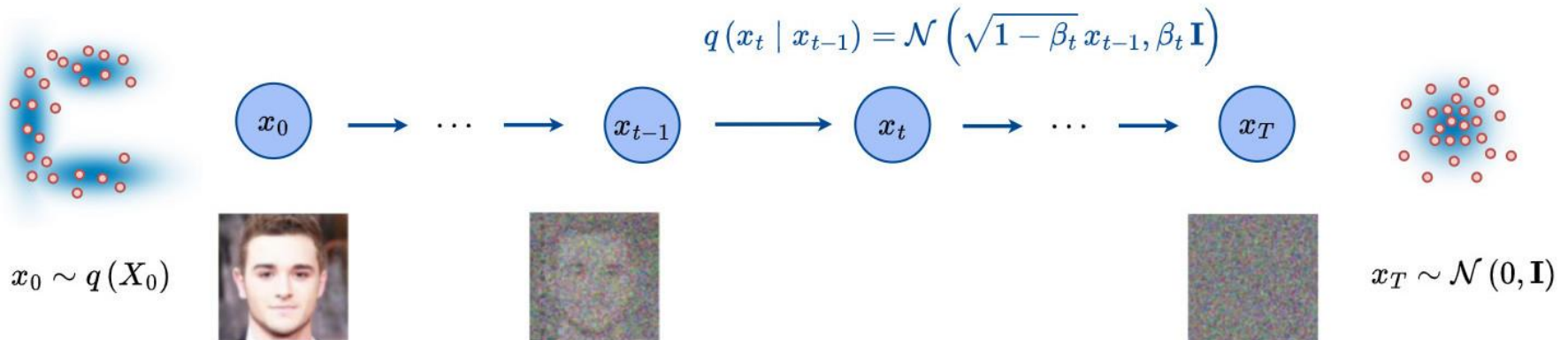
Le processus de propagation avant d'un DDPM est une chaîne de Markov

- ▶ La prédiction à l'étape t ne dépend que de l'état à l'étape $t - 1$, qui ajoute progressivement un bruit gaussien aux données x_0

- ▶ Le processus complet est modélisé par: $q(x_{1:T} | x_0) = \prod_{t=1}^T q(x_t | x_{t-1})$

- ▶ La probabilité conditionnelle peut être modélisée efficacement par

$$q(x_t | x_{t-1}) = \mathcal{N}\left(\left(\sqrt{1 - \beta_t}\right) x_{t-1}, \beta_t \mathbf{I}\right)$$



► Comment définir la variance β_t ?

→ $\{\beta_t \in (0, 1)\}_{t=1}^T$ séquence de constantes linéairement croissantes

→ $\beta_t = \text{clip} \left(1 - \frac{\bar{\alpha}_t}{\bar{\alpha}_{t-1}}, 0.999 \right)$ séquence de constantes de type cosinus

avec $\bar{\alpha}_t = \frac{f(t)}{f(0)}$ et $f(t) = \cos \left(\frac{\frac{t}{T} + s}{1 + s} \cdot \frac{\pi}{2} \right)^2$

→ Dans ce cas

$$q(x_t | x_{t-1}) = \mathcal{N} \left((\sqrt{1 - \beta_t}) x_{t-1}, \beta_t \mathbf{I} \right)$$

Si $\beta_t = 0$, alors $q(x_t | x_{t-1}) = x_{t-1}$

Si $\beta_t = 1$, alors $q(x_t | x_{t-1}) = \mathcal{N}(0, \mathbf{I})$

► Probabilité conditionnelle: relation importante

→ En utilisant l'astuce de reparamétrisation

$$q(x_t | x_{t-1}) = \mathcal{N}(\sqrt{1 - \beta_t} x_{t-1}, \beta_t \mathbf{I})$$

$$x_t = \sqrt{1 - \beta_t} x_{t-1} + \sqrt{\beta_t} \epsilon_{t-1} \quad \text{avec} \quad \epsilon_{t-1} = \mathcal{N}(0, \mathbf{I})$$

→ On peut démontrer la relation suivante

$$x_t = \sqrt{\bar{\alpha}_t} x_0 + \sqrt{1 - \bar{\alpha}_t} \epsilon_t$$

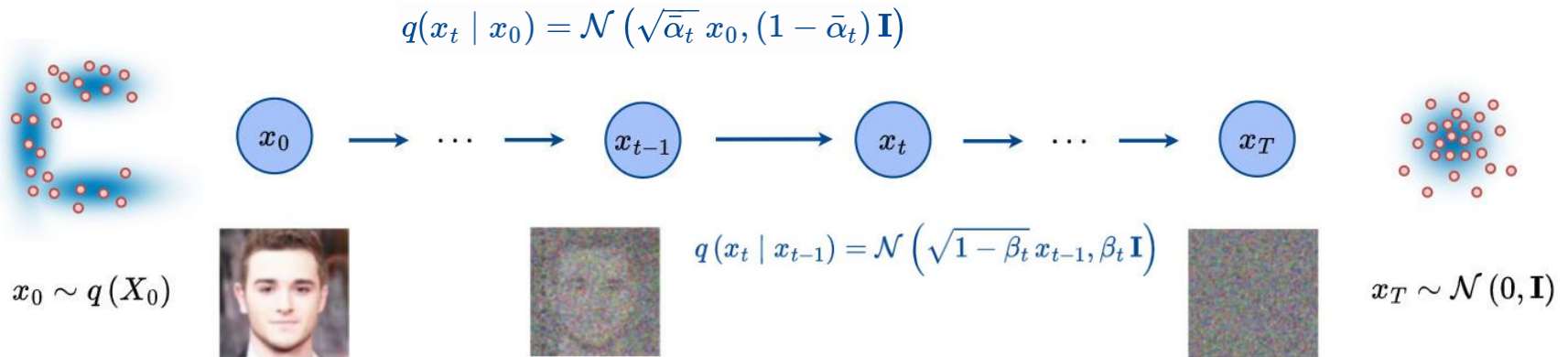
$$q(x_t | x_0) = \mathcal{N}(\sqrt{\bar{\alpha}_t} x_0, (1 - \bar{\alpha}_t) \mathbf{I})$$

$$\text{avec} \quad \alpha_t = 1 - \beta_t$$

$$\bar{\alpha}_t = \prod_{k=1}^t \alpha_k$$

Processus de diffusion vers l'avant (forward diffusion process)

► Pour résumer



$$q(x_t | x_{t-1}) = \mathcal{N}(\sqrt{1 - \beta_t} x_{t-1}, \beta_t \mathbf{I})$$

Si $\beta_t = 0$, alors $q(x_t | x_{t-1}) = x_{t-1}$

Si $\beta_t = 1$, alors $q(x_t | x_{t-1}) = \mathcal{N}(0, \mathbf{I})$

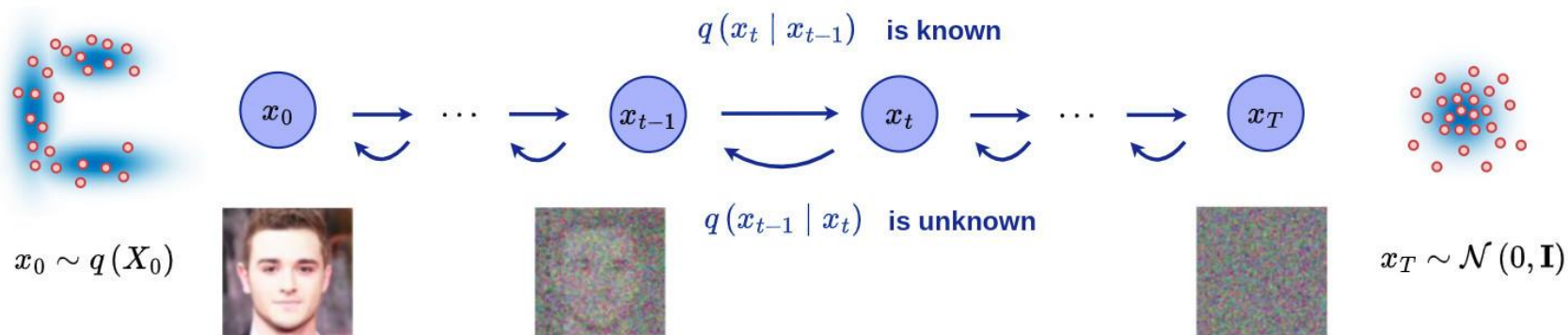
$$q(x_t | x_0) = \mathcal{N}(\sqrt{\bar{\alpha}_t} x_0, (1 - \bar{\alpha}_t) \mathbf{I})$$

avec $\alpha_t = 1 - \beta_t$ et $\bar{\alpha}_t = \prod_{k=1}^t \alpha_k$

DDPM

Processus inverse

Si on est capable d'inverser le processus de diffusion à partir de $q(x_{t-1}|x_t)$, alors on pourra générer un échantillon x_0 à partir d'un bruit gaussien $x_T \sim \mathcal{N}(0, \mathbf{I})$

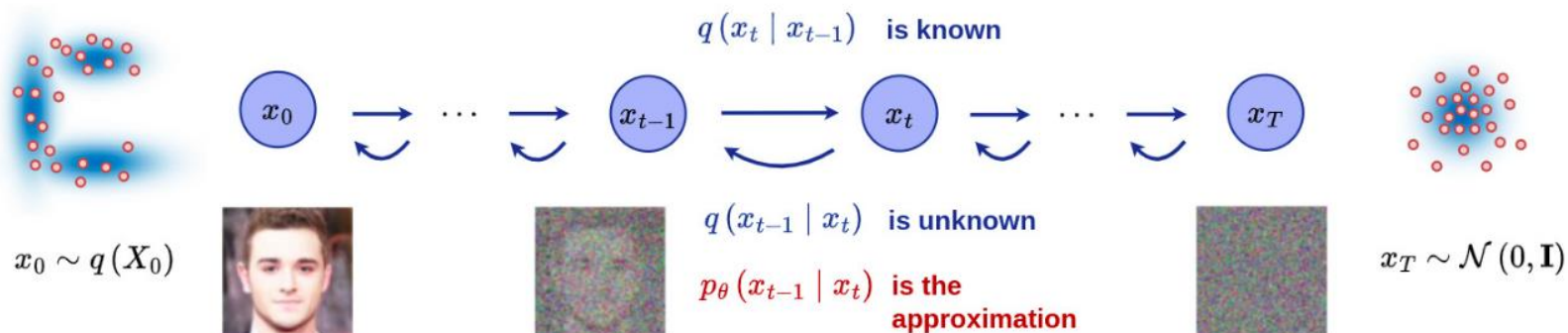


- ▶ Grâce au théorème de Bayes

$$q(x_{t-1} | x_t) = \frac{q(x_t | x_{t-1}) q(x_{t-1})}{q(x_t)}$$

- ▶ Comme $q(x_t)$ n'est non connu, $q(x_{t-1}|x_t)$ est insoluble

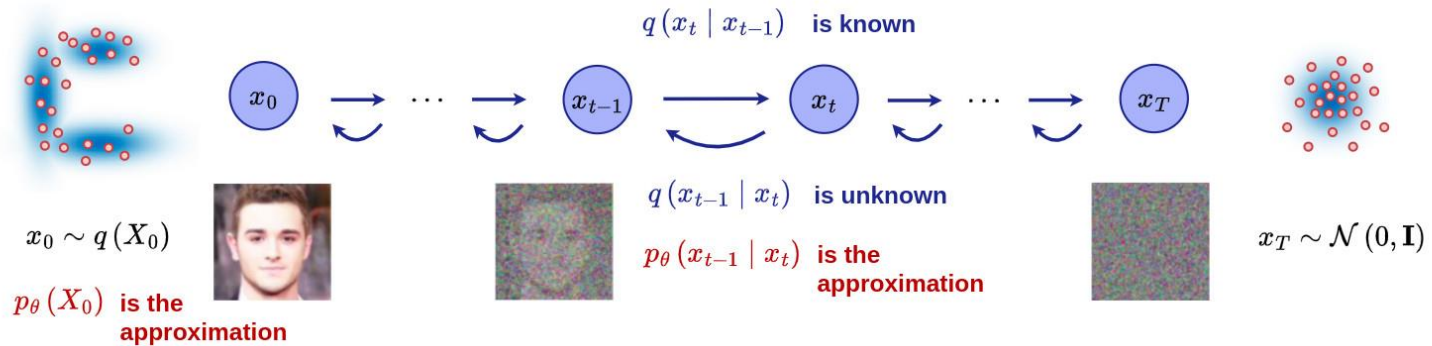
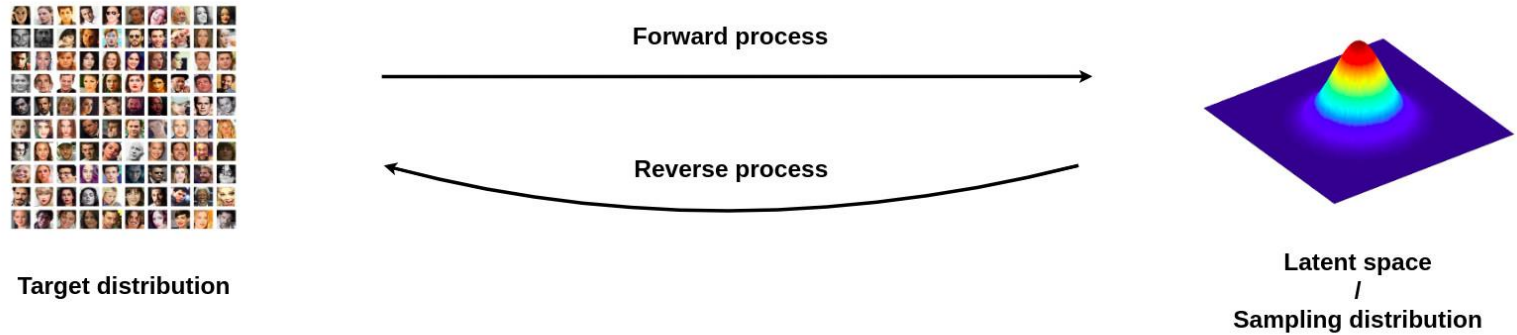
On va apprendre un modèle $p_\theta(x_{t-1}|x_t)$ pour approximer $q(x_{t-1}|x_t)$ afin d'exécuter le processus de diffusion inverse



- ▶ Hypothèse gaussienne $p_\theta(x_{t-1} | x_t) = \mathcal{N}(\mu_\theta(x_t, t), \Sigma_\theta(x_t, t))$
- ▶ Modélisation de l'ensemble du processus inverse

$$p_\theta(x_{0:T}) = p_\theta(x_T) \prod_{t=1}^T p_\theta(x_{t-1} | x_t)$$

► Pour résumer



➔ Modèle à apprendre

$$p_\theta(x_{t-1} | x_t) = \mathcal{N}(\mu_\theta(x_t, t), \Sigma_\theta(x_t, t))$$

➔ Ensemble du processus inverse

$$p_\theta(x_{0:T}) = p_\theta(x_T) \prod_{t=1}^T p_\theta(x_{t-1} | x_t)$$

DDPM

Stratégie d'apprentissage

- ▶ Minimiser l'entropie croisée entre $q(x_0)$ et $p_\theta(x_0)$ aboutit à ce que les deux distributions soient aussi proches que possible

$$H(q, p_\theta) = - \int q(x_0) \cdot \log(p_\theta(x_0)) dx_0 = -\mathbb{E}_{x_0 \sim q} [\log(p_\theta(x_0))]$$

- ▶ Réécriture de cette expression via le théorème marginal

$$\begin{aligned} H(q, p_\theta) &= -\mathbb{E}_{x_0 \sim q} \left[\log \left(\int p_\theta(x_{0:T}) dx_{1:T} \right) \right] \\ &= -\mathbb{E}_{x_0 \sim q} \left[\log \left(\int q(x_{1:T} | x_0) \frac{p_\theta(x_{0:T})}{q(x_{1:T} | x_0)} dx_{1:T} \right) \right] \\ &= -\mathbb{E}_{x_0 \sim q} \left[\log \left(\mathbb{E}_{x_{1:T} \sim q(x_{1:T} | x_0)} \left[\frac{p_\theta(x_{0:T})}{q(x_{1:T} | x_0)} \right] \right) \right] \end{aligned}$$

► Inégalité de Jensen

$$\phi(\mathbb{E}[X]) \leq \mathbb{E}[\phi(X)]$$

$$\begin{aligned} \rightarrow H(q, p_\theta) &\leq -\mathbb{E}_{x_0 \sim q} \mathbb{E}_{x_{1:T} \sim q(x_{1:T}|x_0)} \left[\log \left(\frac{p_\theta(x_{0:T})}{q(x_{1:T} | x_0)} \right) \right] \\ &\leq -\mathbb{E}_{x_{0:T} \sim q(x_{0:T})} \left[\log \left(\frac{p_\theta(x_{0:T})}{q(x_{1:T} | x_0)} \right) \right] \\ &\leq \mathbb{E}_{x_{0:T} \sim q(x_{0:T})} \left[\log \left(\frac{q(x_{1:T} | x_0)}{p_\theta(x_{0:T})} \right) \right] \\ &\leq \mathcal{L}_{VUB} \end{aligned}$$

► Limite supérieure variationnelle

$$\mathcal{L}_{VUB} = \mathbb{E}_{x_{0:T} \sim q(x_{0:T})} \left[\log \left(\frac{q(x_{1:T} | x_0)}{p_\theta(x_{0:T})} \right) \right]$$

Comme $H(q, p_\theta)$ est positif, minimiser \mathcal{L}_{VUB} revient à minimiser $H(q, p_\theta)$

► Minimisation de \mathcal{L}_{VUB}

$$\begin{aligned}\mathcal{L}_{VUB} &= \mathbb{E}_{x_{0:T} \sim q} \left[\log \left(\frac{q(x_T | x_0)}{p_\theta(x_T)} \right) + \sum_{t=2}^T \log \left(\frac{q(x_{t-1} | x_t, x_0)}{p_\theta(x_{t-1} | x_t)} \right) - \log(p_\theta(x_0 | x_1)) \right] \\ &= \underbrace{D_{KL}(q(x_T | x_0) \parallel p_\theta(x_T))}_{\mathcal{L}_T} + \sum_{t=2}^T \underbrace{D_{KL}(q(x_{t-1} | x_t, x_0) \parallel p_\theta(x_{t-1} | x_t))}_{\mathcal{L}_{t-1}} - \underbrace{\log(p_\theta(x_0 | x_1))}_{\mathcal{L}_0}\end{aligned}$$

L'obtention de cette expression est décrit dans le blog suivant

<https://creatis-myriad.github.io/tutorials/2023-11-30-tutorial-ddpm.html>

► Minimisation de \mathcal{L}_{VUB}

- Remarque n°1: étant donné que la séquence $\{\beta_t\}_{t \in [1, T]}$ est choisie en amont, $q(x_T | x_0)$ est déterministe et \mathcal{L}_T est un terme constant dont on ne tiendra pas compte dans le processus de minimisation
- Remarque n°2: L_0 peut être modélisé par un décodeur particulier, ou être omis dans un but de simplification
- Remarque n°3: en utilisant l'astuce de reparamétrisation, $q(x_{t-1} | x_t, x_0)$ peut être reformulé comme

$$q(x_{t-1} | x_t, x_0) = \mathcal{N}(\tilde{\mu}_t(x_t, x_0), \tilde{\beta}_t \cdot \mathbf{I})$$

$$\text{avec } \tilde{\mu}_t(x_t, x_0) = \frac{1}{\sqrt{\alpha_t}} \left(x_t - \frac{1 - \alpha_t}{\sqrt{1 - \bar{\alpha}_t}} \epsilon_t \right)$$

$$\tilde{\beta}_t = \frac{1 - \bar{\alpha}_{t-1}}{1 - \bar{\alpha}_t} \cdot \beta_t \quad \bar{\alpha}_t = \prod_{k=1}^t \alpha_k \quad \alpha_t = 1 - \beta_t$$

► Minimisation de \mathcal{L}_{VUB}

→ La minimisation de \mathcal{L}_{VUB} revient donc à minimiser $D_{KL}(q(x_{t-1}|x_t, x_0) || p_\theta(x_{t-1}|x_t))$ pour tout instant t

$$\text{avec } \begin{cases} q(x_{t-1} | x_t, x_0) = \mathcal{N}(\tilde{\mu}_t(x_t, x_0), \tilde{\beta}_t \cdot \mathbf{I}) \\ p_\theta(x_{t-1} | x_t) = \mathcal{N}(\mu_\theta(x_t, t), \Sigma_\theta(x_t, t)) \end{cases}$$

→ On souhaite rendre les deux distributions gaussiennes $q(x_{t-1}|x_t, x_0)$ et $p_\theta(x_{t-1}|x_t)$ les plus proches possible

→ Dans un soucis de simplification, on choisit $\Sigma_\theta(x_t, t) = \sigma_t \mathbf{I} = \tilde{\beta}_t \mathbf{I}$

L'idée est donc de se focaliser sur les moyennes des deux distributions et d'entraîner un réseau de neurones μ_θ à prédire $\tilde{\mu}_t = \frac{1}{\sqrt{\alpha_t}} \left(x_t - \frac{1-\alpha_t}{\sqrt{1-\bar{\alpha}_t}} \epsilon_t \right)$

Le terme de perte \mathcal{L}_{t-1} est revisité pour minimiser la différence entre μ_θ et $\tilde{\mu}$

$$\mathcal{L}_{t-1} = \mathbb{E}_{x_0 \sim q, \epsilon \sim \mathcal{N}} \left[\frac{(1 - \alpha_t)^2}{2\alpha_t(1 - \bar{\alpha}_t)\bar{\beta}_t^2} \|\epsilon_t - \epsilon_\theta(x_t, t)\|^2 \right]$$

→ Cette expression peut être simplifiée en ignorant le terme de pondération, ce qui donne la fonction de perte à minimiser finale suivante:

$$\mathcal{L}_{t-1}^{simple} = \mathbb{E}_{x_0 \sim q, \epsilon \sim \mathcal{N}, t \sim [1, T]} [\|\epsilon_t - \epsilon_\theta(x_t, t)\|^2]$$

DDPM

Architecture

► Points clés

→ Le but est d'estimer la probabilité conditionnelle $p_{\theta}(x_{t-1}|x_t)$

$$p_{\theta}(x_{t-1} | x_t) = \mathcal{N}(\mu_{\theta}(x_t, t), \Sigma_{\theta}(x_t, t))$$

$$\mu_{\theta}(x_t, t) = \frac{1}{\sqrt{\alpha_t}} \left(x_t - \frac{1 - \alpha_t}{\sqrt{1 - \bar{\alpha}_t}} \epsilon_{\theta}(x_t, t) \right)$$

$$\Sigma_{\theta}(x_t, t) = \sigma_t \mathbf{I} = \tilde{\beta}_t \mathbf{I}$$

→ Même si la modélisation clé des modèles de diffusion est la chaîne de Markov, il est possible d'exprimer directement x_t en fonction de x_0

$$x_t = \sqrt{\bar{\alpha}_t} x_0 + \sqrt{1 - \bar{\alpha}_t} \epsilon_t$$

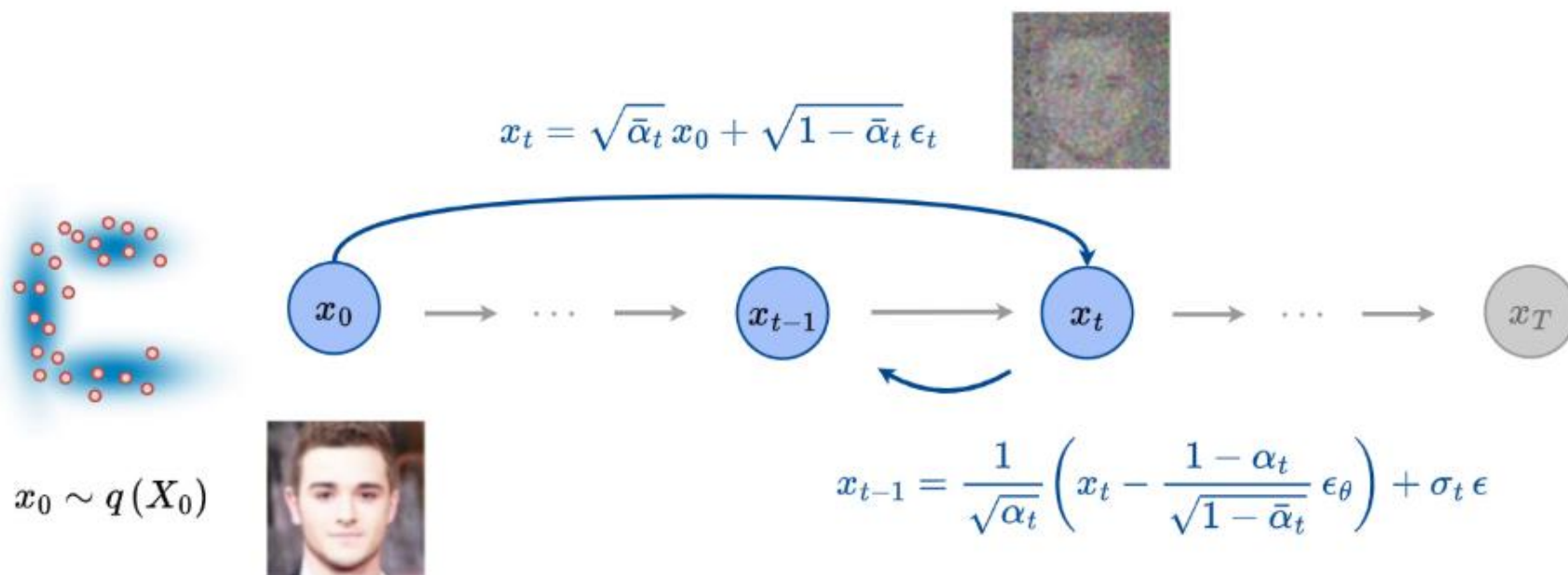
$$\begin{cases} \alpha_t = 1 - \beta_t & \text{et} & \epsilon_t = \mathcal{N}(0, \mathbf{I}) \\ \bar{\alpha}_t = \prod_{k=1}^t \alpha_k \end{cases}$$

→ La seule inconnue est le bruit $\epsilon_{\theta}(x_t, t)$ que nous estimerons par un réseau de neurone via la minimisation de la fonction de perte suivante

$$\mathcal{L}_{t-1}^{simple} = \mathbb{E}_{x_0 \sim q, \epsilon \sim \mathcal{N}, t \sim [1, T]} [\|\epsilon_t - \epsilon_{\theta}(x_t, t)\|^2]$$

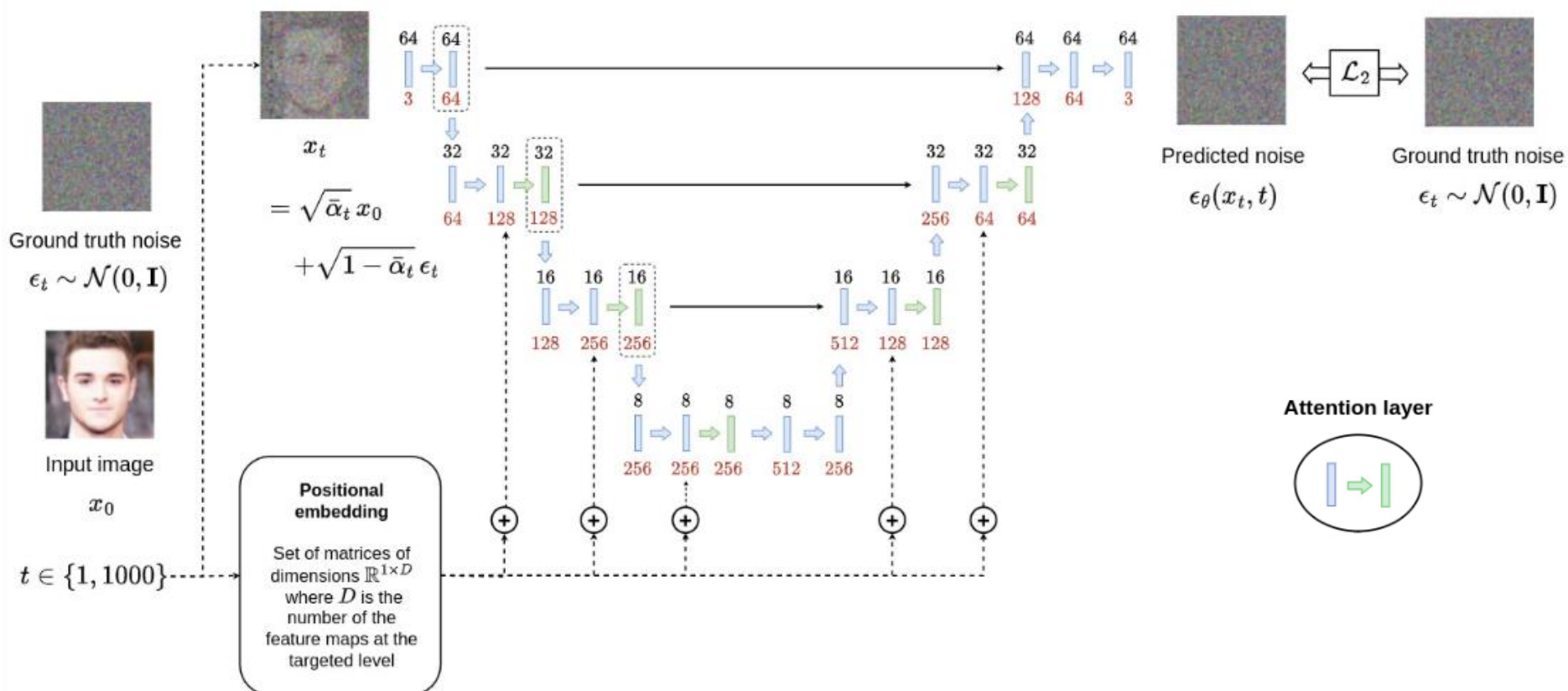
Il est donc possible, à tout moment t , de générer une image bruitée x_t à partir de x_0 et ϵ_t , qui sont connus, et d'apprendre à estimer ϵ_t à partir de x_t

Le bruit estimé $\epsilon_\theta(x_t, t)$ peut alors être utilisé pour retrouver x_{t-1} à partir de x_t

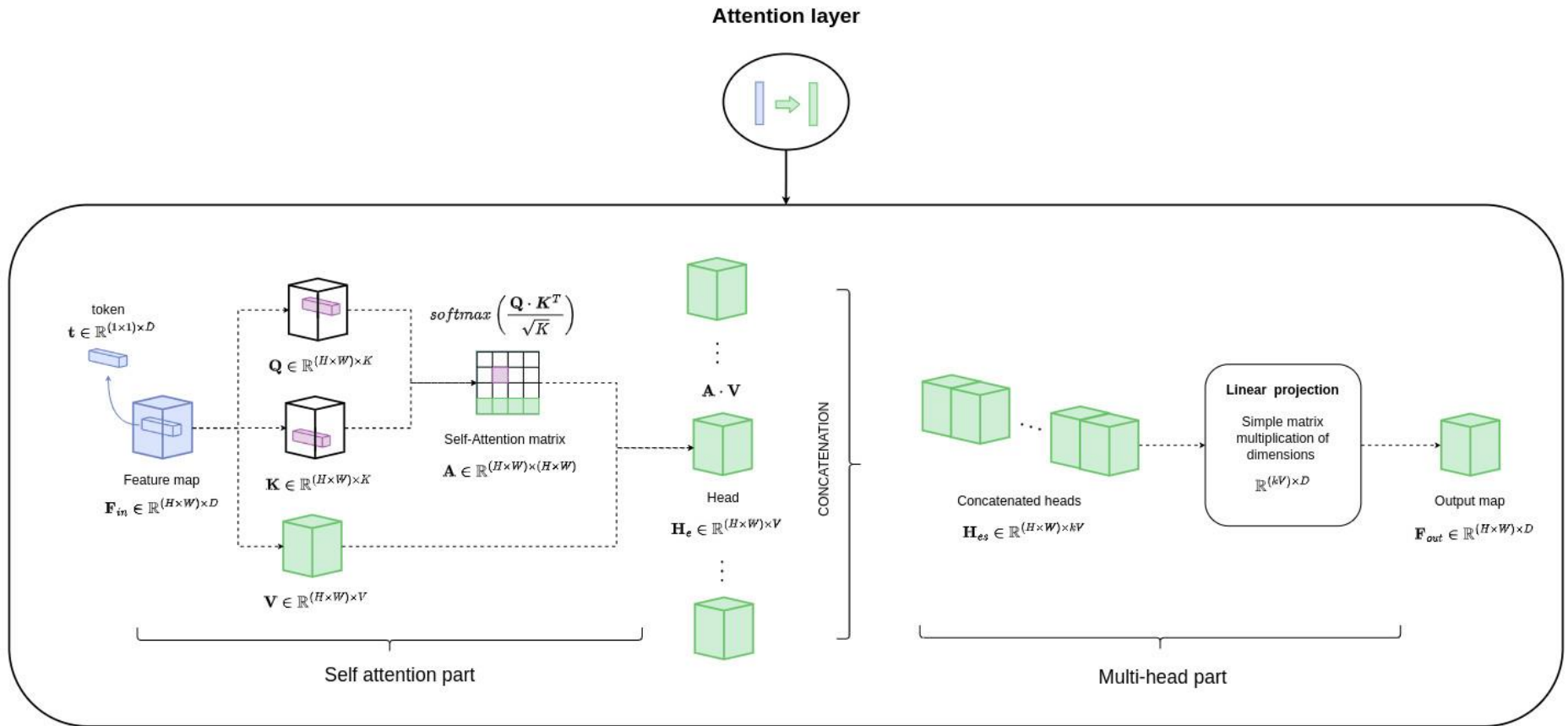


U-Net standard avec des couches d'attention et un encodage de position pour intégrer l'information temporelle

→ Intégration de t est nécessaire car le bruit ajouté varie au cours du temps



→ Couches d'attention



► En résumer

→ En entraînement

Algorithm 1 Training

```
1: repeat  
2:  $\mathbf{x}_0 \sim q(\mathbf{x}_0)$   
3:  $t \sim \text{Uniform}(\{1, \dots, T\})$   
4:  $\epsilon \sim \mathcal{N}(\mathbf{0}, \mathbf{I})$   
5: Take gradient descent step on  
    $\nabla_{\theta} \|\epsilon - \epsilon_{\theta}(\sqrt{\bar{\alpha}_t}\mathbf{x}_0 + \sqrt{1 - \bar{\alpha}_t}\epsilon, t)\|^2$   
6: until converged
```

→ En inférence / génération de nouvelle image synthétique

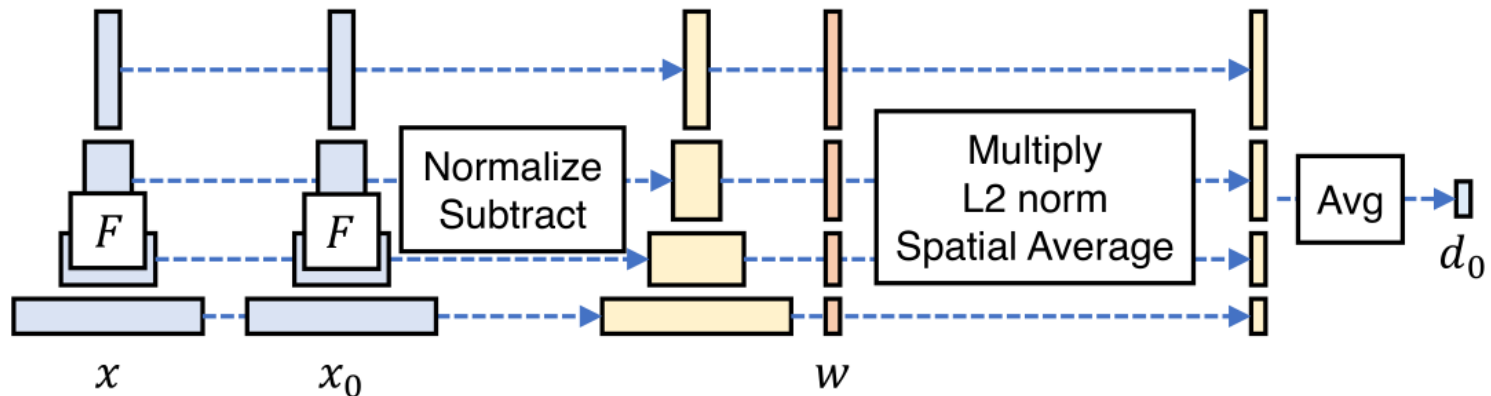
Algorithm 2 Sampling

```
1:  $\mathbf{x}_T \sim \mathcal{N}(\mathbf{0}, \mathbf{I})$   
2: for  $t = T, \dots, 1$  do  
3:  $\mathbf{z} \sim \mathcal{N}(\mathbf{0}, \mathbf{I})$  if  $t > 1$ , else  $\mathbf{z} = \mathbf{0}$   
4:  $\mathbf{x}_{t-1} = \frac{1}{\sqrt{\alpha_t}} \left( \mathbf{x}_t - \frac{1 - \alpha_t}{\sqrt{1 - \bar{\alpha}_t}} \epsilon_{\theta}(\mathbf{x}_t, t) \right) + \sigma_t \mathbf{z}$   
5: end for  
6: return  $\mathbf{x}_0$ 
```

Application pratique

Modèles de diffusion latente

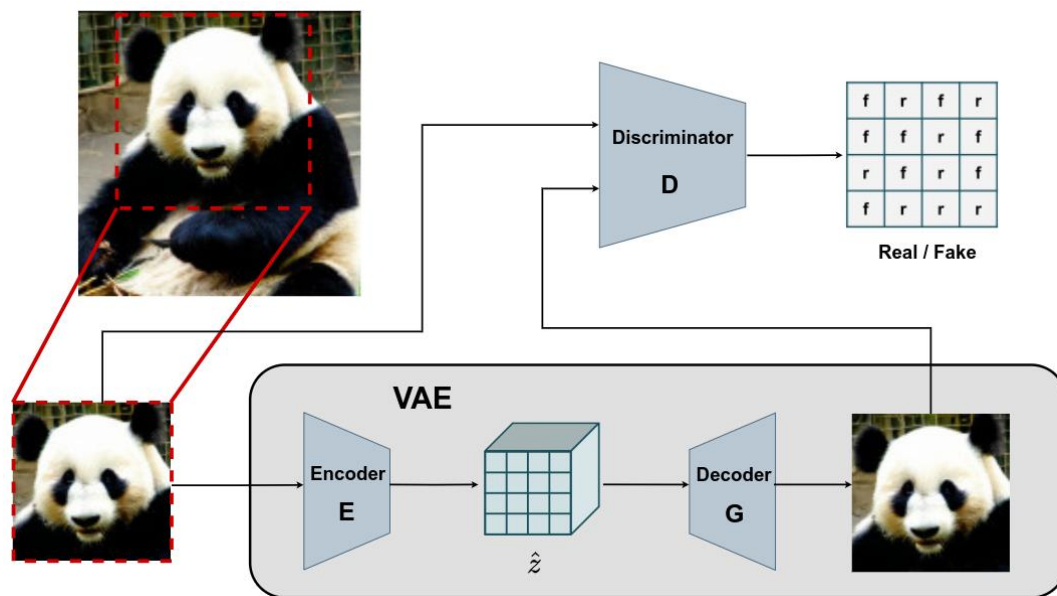
- ▶ Projection des images dans un espace dédié avant traitement
 - ➔ Utilisation d'un VAE en entrée/sortie du DDPM afin de réduire la complexité des images traitées et l'empreinte mémoire
 - ➔ Introduction d'une fonction de perte perceptuelle pour améliorer la qualité des images reconstruites



- x et x_0 sont deux patches « image » donnés en entrée
- F est un réseau pré-entraîner, tel que VGG50

► Projection des images dans un espace dédié avant traitement

→ Implémentation d'une approche adversaire



→ Fonction de perte finale

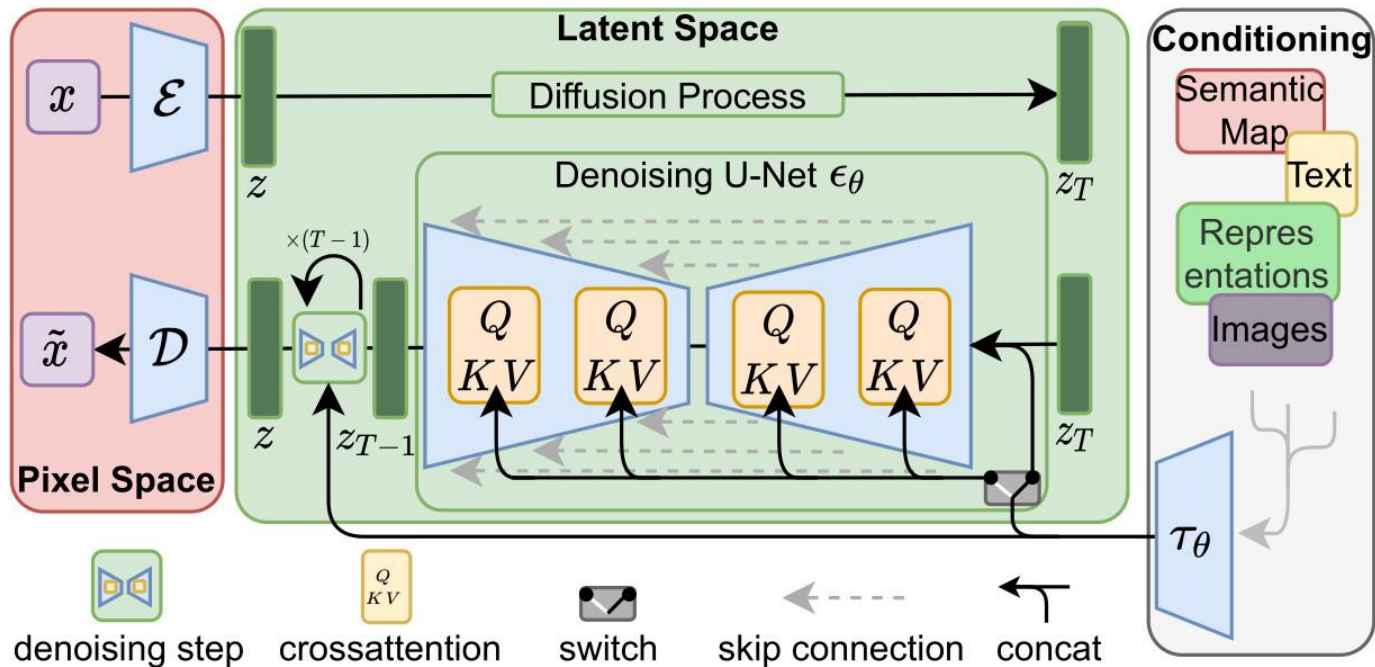
$$\mathcal{L} = \mathcal{L}_{recons} + \beta_1 \mathcal{L}_{KLD} + \beta_2 \mathcal{L}_{perceptual} + \beta_3 \mathcal{L}_{adversarial}$$

Modèles de diffusion latente (LDM)

- ▶ Le VAE est appris indépendamment du DDPM et son architecture est figée
- ▶ Minimisation de la fonction de perte suivante

$$\mathcal{L}_{LDM} = \mathbb{E}_{x_0 \sim q, \epsilon \sim \mathcal{N}, t \sim [1, T]} [\|\epsilon_t - \epsilon_\theta(x_t, t)\|^2]$$

- ▶ Architecture LDM



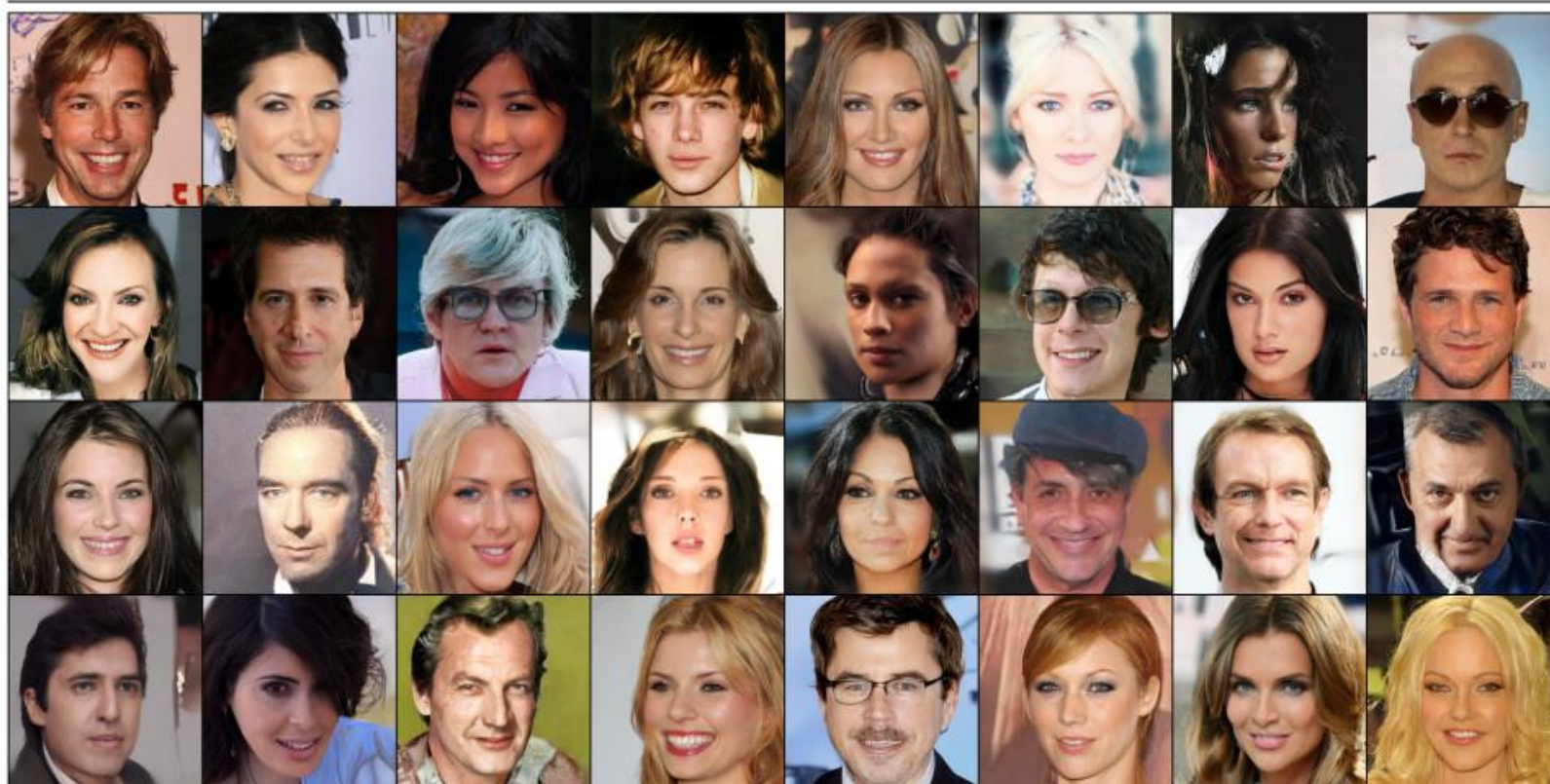
► Caractéristiques

Parameters	LDM – 256 × 256
z-shape	64 × 64 × 3
Diffusion steps	1000
Noise scheduler	linear
Number of parameters	274 Million
Channels	224
Channel multiplier	1, 2, 3, 4
Attention resolutions	32, 16, 8
Number of head	1
Batch size	48
Iterations	410 k
Learning rate	$9.6 e^{-5}$

Modèles de diffusion latente (LDM)

- Génération aléatoire d'images synthétiques *sans conditionnement* appris à partir de la base de données CelebA-HQ

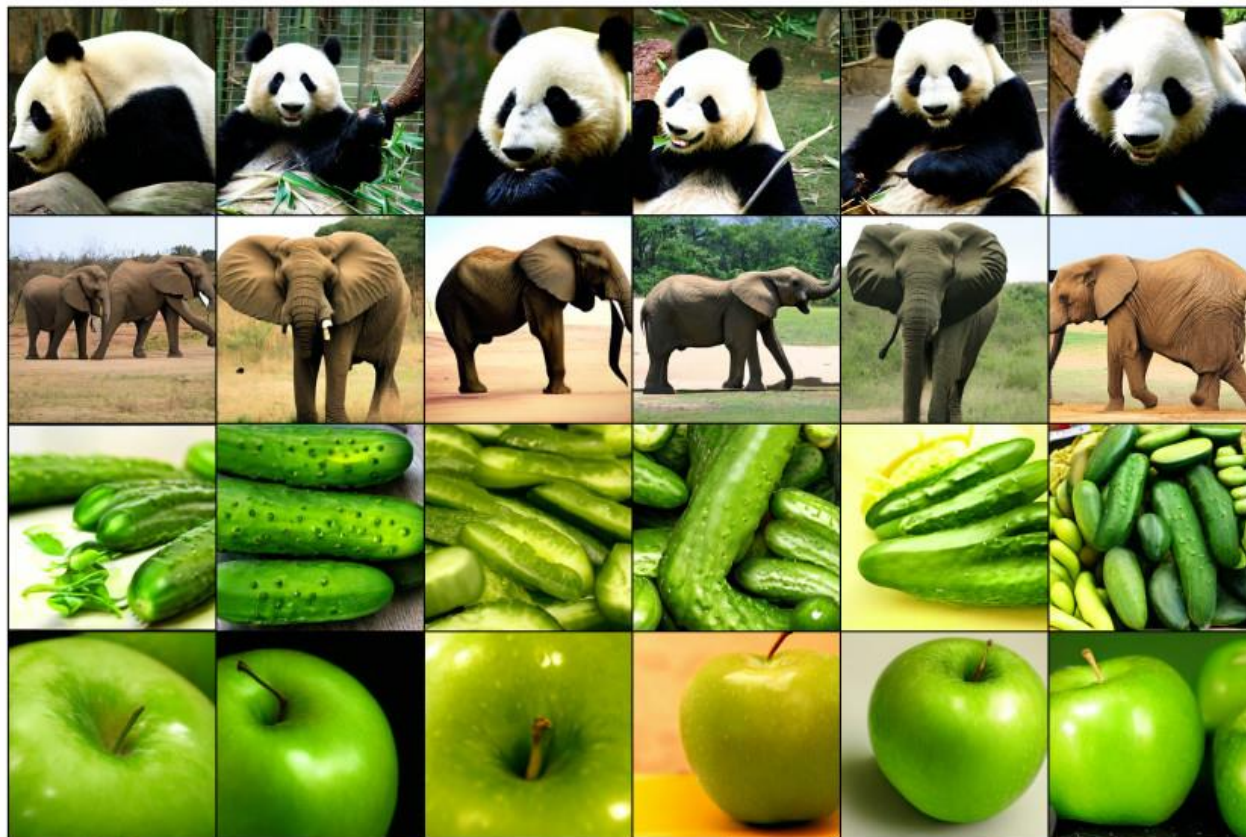
Random samples on the CelebA-HQ dataset



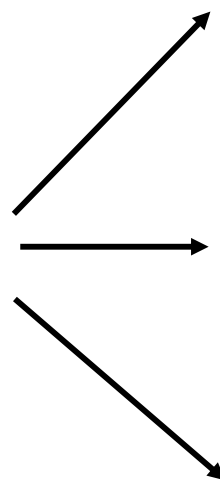
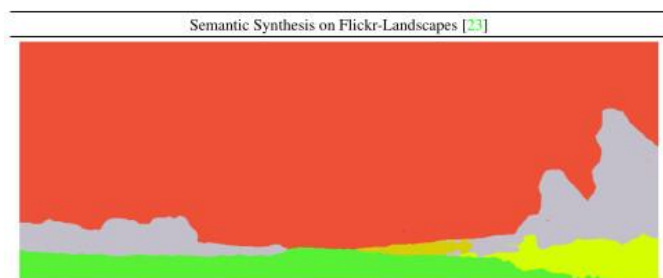
Modèles de diffusion latente (LDM)

- Génération aléatoire d'images synthétiques *avec conditionnement sur la classe* appris à partir de la base de données ImageNet

Random class conditional samples on the ImageNet dataset



- ▶ Génération aléatoire d'images synthétiques *avec conditionnement sur des masques* appris à partir de la base de données Flickr-landscapes



Modèles de diffusion latente (LDM)

- ▶ Génération aléatoire d'images synthétiques *avec conditionnement sur le texte* appris à partir de la base de données LAION-400M
 - ➔ Utilisation du tokenizer BERT
 - ➔ Ce modèle possède plus de 1.45 Milliards de paramètres !

'A painting of the last supper by Picasso.'



That's all folks
